

アルカリ金属水酸化物溶融塩を用いた 酸化物超伝導体の低温合成

東北大学大学院工学研究科 今井良宗*・加藤雅恒・小池洋二
(*現在: 東京大学大学院総合文化研究科)

§1 はじめに

銅酸化物高温超伝導体の発見以来、新しい超伝導物質の探索的研究が盛んに行われてきた。物質探索の指針は千差万別だが、合成法に着目すると、無限層構造を有する $(\text{Sr}, \text{Nd})\text{CuO}_2$ の合成¹⁾などに代表されるように高圧合成が大きな成果を挙げてきた。密封環境を活かして、融点や蒸気圧の大きく異なる物質を原料とする場合でも分解や昇華を抑えた合成が可能であったり、反応成分の分圧を高めることができたりと、高圧合成には多くのメリットがある。なかでも、人工ダイアモンドの合成で見られるような高密度で高配位数をとる相の合成は、高圧合成の最も得意とするところである。すなわち、常圧下と圧力下では異なる結晶構造をとることから、高圧合成を用いることにより、常圧下では得ることのできない多くの化合物を合成することができた。以上のことから、高圧合成は確かに新物質探索の手段として有用であると言える。しかし、高圧合成には大掛かりな装置が必要であり、通常の実験室では導入が難しいこと、また、得られる試料がごく微量であるという弱点も持っている。

ところで、一般に、結晶構造は温度と圧力に依存する。したがって、これまで物質探索研究ではあまり注目されなかった低温(常圧)においても、高温とは異なる結晶構造をとる場合があり、新物質が潜んでいる可能性は高いと思われる。しかし、低温での物質合成においては、熱エネルギーによる原子の長距離拡散が期待できないことから、ソフト化学的な特殊な合成法を利用する必要がある。ソフト化学的な合成法とは、熱エネル

ギーの代わりに化学エネルギーを利用し、室温近傍の穏和な環境下で物質を合成する方法で、具体的には、溶液法(共沈法、ゾルゲル法、錯体重合法など)、インターラーションやイオン交換反応などがある。近年、こういったソフト化学的な手法を利用して、いくつかの新しい、また、興味深い超伝導体が発見されている。たとえば、周期表で Cu と近接した Fe, Co, Ni といった元素を含む酸化物としては初めての超伝導体であった $\text{Na}_x\text{CoO}_2 \cdot y\text{H}_2\text{O}$ ²⁾ や第 3 の電子ドープ型銅酸化物超伝導体 $\text{Li}_x\text{Sr}_2\text{CuO}_2X_2$ ($X = \text{Br}, \text{I}$)^{3,4)} である。

筆者らは、以上のようなことから、“低温合成”を指針とし、“アルカリ金属水酸化物溶融塩を用いたソフト化学的な合成手法”を用いて物質探索を行ってきた。その結果、通常の固相反応法では得ることのできない T' 構造を持つ La_2CuO_4 , $\text{La}_{2-x}\text{Sm}_x\text{CuO}_4$ ^{5,6)} の合成に成功した。また、一般には二段階焼成法を用いた固相反応法により合成されるペロフスカイト型超伝導体 $\text{Ba}_{1-x}A_x\text{BiO}_3$ ($A = \text{K}, \text{Rb}$) を、はるかに簡便なプロセスで合成することに成功した⁷⁾。残念ながら、高い超伝導転移温度 T_c を持つ超伝導体の発見には至っていないが、筆者らが用いた合成手法は、通常の実験室で容易に実施することができ、しかも、試料を大量に合成することも可能であるので、物質探索の手法として大変有用であると思われる。本稿では、アルカリ金属水酸化物溶融塩を用いた低温合成の手法と、筆者らがこの手法を用いて合成に成功した物質について紹介したい。本稿の読者が今日からでも本手法を用いて合成を行うことができるよう、合成手法について特に詳しく紹介し

第1表
アルカリ金属水酸化物溶融塩を用いた合成が報告されている複合金属酸化物の例とその合成時の温度。

複合金属酸化物	合成時の温度	文献
$\text{EuBa}_2\text{Cu}_4\text{O}_8$	475°C	9)
RECu_2O_4 ($\text{RE} = \text{La}, \text{Nd}, \text{Sm}, \text{Eu}, \text{Gd}, \text{Dy}, \text{Ho}, \text{Y}, \text{Er}$)	350–450°C	10)
$\text{La}_{2-x}\text{M}_x\text{CuO}_4$ ($\text{M} = \text{Na}, \text{K}$)	320–450°C	11)
$\text{La}_{0.97}\text{K}_{0.03}\text{NiO}_3$	400°C	12)
$\text{Ba}_{1-x}\text{K}_x\text{BiO}_3$	260°C	13)
$\text{Cs}_{0.2}\text{CoO}_2 \cdot 0.63 \text{H}_2\text{O}$	260°C	14)

たい。以下では、まず、§2にて溶融塩の紹介をし、さらに、溶融塩を用いることによって低温での物質合成が可能となる要因について考察する。§3, §4にて、T'構造を持つ La_2CuO_4 および $\text{La}_{2-x}\text{Sm}_x\text{CuO}_4$ とペロフスキイト型酸化物 $\text{Ba}_{1-x}\text{A}_x\text{BiO}_3$ ($\text{A} = \text{K}, \text{Rb}$)の研究結果を詳述し、§5でまとめたい。

§2 溶融塩、水酸化物溶融塩とは

溶融塩とは、塩が融解した液体のことであるが、あまり耳慣れない言葉かもしれない。しかし、溶融塩は、古くから工業的に応用され、我々の生活に欠かせないものである。たとえば、アルミニウムが電気分解によって精錬されていること(ホール・エラー法)はよく知られているが、実は、その際に溶融塩が使用されている。すなわち、ボーキサイトから抽出したアルミナを溶かす溶媒が、水晶石(Na_3AlF_6)とフッ化ナトリウムからなる溶融塩なのである。また、最近では、室温付近で液体として存在する“イオン性液体”と呼ばれる溶融塩が、従来にない抽出溶媒や反応溶媒、あるいは、潤滑油として注目されている。溶融塩の種類は、無数と言ってもよいくらいがあるので、詳しい解説は専門書に委ねたい⁸⁾。

筆者らは、溶融塩のなかでもアルカリ金属水酸化物溶融塩に着目した。塩とは酸とアルカリが化学的に中和して生ずる化合物のことであり、この定義によれば、 KOH や NaOH といった水酸化物は塩ではなく、これらの溶融体は溶融塩ではない。しかし、広義には、水酸化物の溶融体も溶融塩に含ませるのが通例となっている。これまで、アルカリ金属水酸化物溶融塩を用いた合成法によ

第2表 本稿内で用いたアルカリ金属水酸化物とその融点。

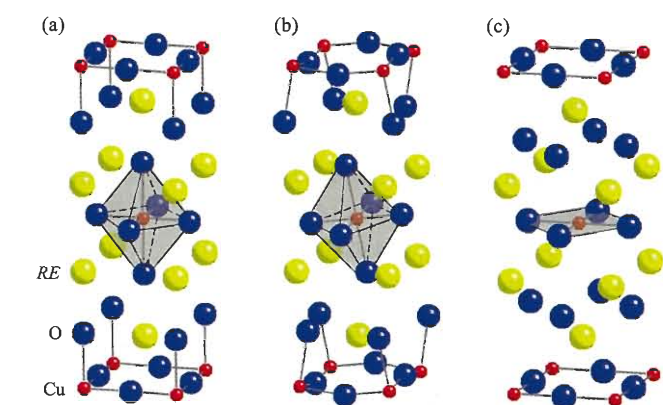
アルカリ金属水酸化物	融点
NaOH	320°C
KOH	360°C
$\text{RbOH} \cdot \text{H}_2\text{O}$	301°C
$\text{KOH} + \text{NaOH}$ (モル比 K : Na = 49 : 51)	190°C

って、第1表に示すような金属酸化物が合成されている^{9~14)}。たとえば、 RECu_2O_4 (RE : 希土類元素)は、400°C程度に保持した NaOH と KOH の混合溶融塩中に原料である RE_2O_3 と CuO を投入し、4~6時間放置することにより、容易に多結晶粉末試料を得ることができる¹⁰⁾。しかし、この RECu_2O_4 を固相反応法で作製しようとすると、高温、高圧下での合成(1000~1200°C, 酸素圧4~10 GPa)が必要となる¹⁵⁾。このようなアルカリ金属水酸化物溶融塩中に原料の金属酸化物を溶解させ、適当な時間放置することで複合金属酸化物を得る合成方法は、世界的に見ても報告例は少なく、英語でも日本語でもこの方法を適切に表現する名称が見当たらないので、本稿内では、この方法を「アルカリ金属水酸化物溶融塩法」と呼ぶことにとする。第2表に本研究で用いたアルカリ金属水酸化物を列挙する。これらの融点はいずれも190~360°Cである。アルカリ金属水酸化物溶融塩法のメリットは、低温合成法としてよく知られている共沈法やゾルゲル法、錯体重合法などと比べてもはるかに低い温度(250~400°C)で合成が可能であり、高圧合成のように特殊な大掛かりな装置を必要としないこと、さらに、試料の大量合成も可能であることが挙げられる。

第1表で示したようにアルカリ金属水酸化物溶融塩を用いることで、固相反応法では考えられないような低い温度で、酸化物を合成することが可能になる。なぜそのような低い温度で物質合成が可能になるのかについて、筆者らは次のような“イメージ”を持っている。第1表からわかるように、溶融塩を用いたときにも、それぞれの物質によって、合成される温度が違っている。これは、 $\text{Ba}_{1-x}\text{K}_x\text{BiO}_3$ であれば260°C程度、 $\text{EuBa}_2\text{Cu}_4\text{O}_8$ であれば475°C程度といった具合に、結晶格子を組むために必要な温度がそれぞれの物質によって決まっているためと考えられる。仮に、固相反応法でそのような温度域で合成を行った場合でも、異なる原料の粒同士が接触しているごくごくわずかな領域では反応が起こっていると思われる。ただし、接触しているわずかな領域以外の所を反応させるためには、熱による原料の拡散が不可欠なので、より高温が必要になるのであろう。このような考えに基づけば、共沈法を用いると固相反応法に比べて反応温度が下がるのは、原料の粒のサイズが小さくなることで異なる原料の粒同士の接触面積が増えるためと理解できる。溶融塩を用いると、原料同士がイオンレベルで接しているので、高温にしなくとも全体的に反応を進ませることができると、したがって、他の方法では考えられないような低い温度での合成が可能になると理解することができる。

§3 T'構造を持つ La_2CuO_4 および $\text{La}_{2-x}\text{Sm}_x\text{CuO}_4$

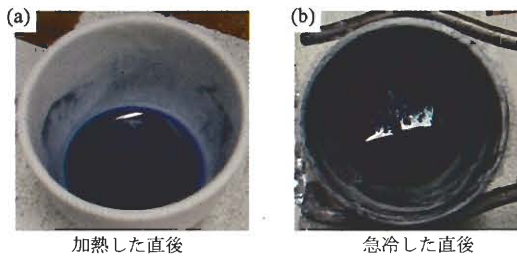
高温超伝導体の母物質としてよく知られている RE_2CuO_4 ($\text{RE} = \text{La-Gd}$)は、第1図に示すように K_2NiF_4 構造(T構造)、歪んだ K_2NiF_4 構造(O構造)、 Nd_2CuO_4



第1図
 RE_2CuO_4 の
結晶構造。
(a) T構造。
(b) O構造。
(c) T'構造。

構造(T'構造)の3つの異なる結晶構造をとる。ホールドープ型銅酸化物超伝導体 $\text{La}_{2-x}\text{Sr}_x\text{CuO}_4$ や $\text{La}_{2-x}\text{Ba}_x\text{CuO}_4$ などの母物質 La_2CuO_4 は、 CuO_2 面と岩塩構造の La_2O_2 層(ブロック層)が交互に積層した K_2NiF_4 構造をとる。 $T_{\text{d}1}$ (~520 K)より高い温度では、 CuO_6 八面体が傾かない正方晶系(T構造)をとるが、 $T_{\text{d}1}$ より低い室温付近では、 CuO_6 八面体が傾き、歪みを持った斜方晶系(O構造)をとる。一方、 RE が La よりも小さなイオン半径を持つ元素の場合には、 RE_2CuO_4 はがらりと構造を変え、 CuO_2 面と萤石構造の RE_2O_2 層(ブロック層)が交互に積層したT'構造をとる。このT'構造をとる RE_2CuO_4 は、 $\text{Pr}_{2-x}\text{Ce}_x\text{CuO}_4$ や $\text{Sm}_{2-x}\text{Ce}_x\text{CuO}_4$ などの電子ドープ型銅酸化物超伝導体の母物質として知られている。

最近、MBE(Molecular Beam Epitaxy)法を用いて La_2CuO_4 の La の一部を少量の RE で置換した $\text{La}_{2-x}\text{RE}_x\text{CuO}_4$ 薄膜($\text{RE} = \text{Sm, Eu, Tb, Lu, Y}$)を育成したところ、T'構造を持つ試料が得られ、さらに、真空アーナー処理を施すことによって、 $0.05 \leq x \leq 0.5$ の組成で超伝導を示すことが、内藤らにより報告された¹⁶⁾。この組成通りであるとすると、キャリアドーピングなしで超伝導が出現していることになり、大変興味深い。しかしながら、薄膜においては酸素量の同定が困難であるために、酸素欠損によって電子がドープされて超伝導化している可能性を否定できない。それゆえ、この超伝導の発現機構を明らかにするためには、酸素量の同定が可能なバルク試料の合成が不可欠である。そこで、筆者らは、内藤らが超伝導



第2図
原料(La_2O_3 , Sm_2O_3 , CuO)
と NaOH と KOH を 埋 堀
に入れて加熱した直後と急
冷した直後の融液の様子。

の発現を報告している $\text{La}_{2-x}\text{Sm}_x\text{CuO}_4$ ($0.05 \leq x \leq 0.5$) の試料を、通常の固相反応法 (900°C , 24時間 空気中焼成) で作製してみたところ、O構造、または、O構造とT'構造の混相の試料が得られ、T'構造の単相試料は得られなかった。薄膜とバルクで構造が異なるのはなぜだろうか？ 単純には、薄膜育成独特の基板からの歪みによるものと考えられるが、実は、基板の a 軸長にあまり関係なく、さまざまな基板でT'構造を持つ薄膜が得られている¹⁷⁾。したがって、T'構造をもつ試料を得るために重要なのは、合成時の温度であると考えられる。というのは、文献16)における薄膜育成時の温度は約650°C程度で、固相反応法のときと比べるとかなり低いからである。実は、10年以上も前にT'構造を持つ $\text{La}_{2-x}RE_x\text{CuO}_4$ のバルク試料を作製しようという試みがなされているが^{18~20)}、それらはいずれも300~600°Cの低温で合成したものである。この低温合成の試みの結果、T'構造のバルク試料は得られてはいるが、これらの論文に添付されている粉末X線回折像を見る限りでは、いずれもピークはかなりブロードで、結晶性のよい試料が得られているとは考えにくい。

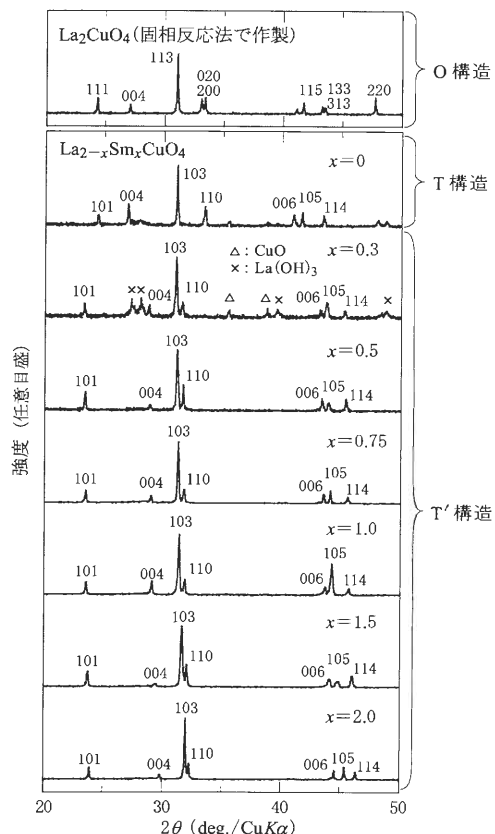
そこで、筆者らは、T'構造を持つ $\text{La}_{2-x}\text{Sm}_x\text{CuO}_4$ と薄膜でも作製の難しいT'構造を持つ La_2CuO_4 の合成を、アルカリ金属水酸化物溶融塩法により試みた。アルカリ金属水酸化物溶融塩を用いれば、MBE法を使った薄膜育成よりもはるかに低い温度 ($300\text{--}400^\circ\text{C}$) でも、固相反応法で得られる試料と遜色ない結晶性の試料の合成が期待できると考えたからである。

以下にアルカリ金属水酸化物溶融塩法を用いた $\text{La}_{2-x}\text{Sm}_x\text{CuO}_4$ ($0 \leq x \leq 2$) の合成方法について述べる。原料である La_2O_3 , Sm_2O_3 , CuO を化学量論

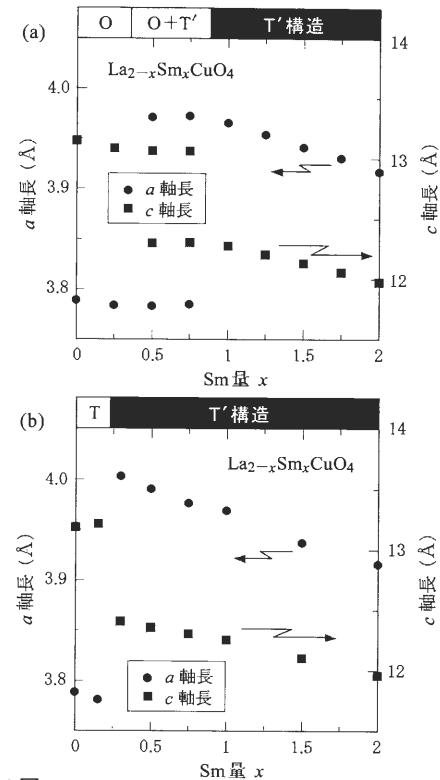
比どおりに秤量し、混合する。この混合粉末約4.5gを KOH 30 gと NaOH 22 g(モル比 K : Na = 49 : 51)とともにアルミナ坩堝(外径66 mm, 高さ54 mm)に入る。この坩堝を空气中で 350°C , 96時間 ($0 \leq x < 1$)、あるいは、 400°C , 48時間 ($1 \leq x \leq 2$) 加熱した後に、アルミナ坩堝ごと室温に急冷した。第2図に加熱直後と急冷直後の融液の写真を示す。加熱直後の状態では、銅が溶けていることを反映し、全体的に青っぽいが、急冷直後には、無色透明の液体の底に黒色の沈殿物があることがわかる。急冷後のアルミナ坩堝内には、目的の生成物以外に、アルカリ金属水酸化物や未反応の原料が含まれている。これらを取り除くため、アルミナ坩堝内に蒸留水を注ぎ、数分間放置し、蒸留水を捨てるという作業を繰り返す。初めは青や灰色のもやもやした浮遊物が蒸留水に含まれているが、徐々に黒色の沈殿物が含まれてくるようになる。黒色の沈殿物が目立つようになったら、アルミナ坩堝から捨てていた蒸留水をビーカーに移すようにする。これを繰り返して、坩堝内の沈殿物をすべてビーカーに移す。その後、超音波洗浄を数分間行い、上澄みの液体を捨て、新たに蒸留水を入れ、超音波洗浄を行うという作業を数回繰り返す。最後の超音波洗浄が終わった後に、上澄みの液体を捨て、 150°C 程度で数時間放置し、乾燥させることで多結晶粉末試料が得られる。

得られた試料の室温における粉末X線回折像を第3図に示す。比較のために、固相反応法で作製した La_2CuO_4 のピークも示す(固相反応法で作製した La_2CuO_4 は高温ではT構造、低温ではO構造なので、これを以下T/O構造、またはT/O-La₂CuO₄と略記する)。 $0.5 \leq x \leq 2$ の場合の粉末X線回折像はすべてT'構造に起因するピークで指数をつけることが可能であり、T'構造を

有する $\text{La}_{2-x}\text{Sm}_x\text{CuO}_4$ の単相試料が得られたと言ってよい。次に、 $x=0.3$ の場合だが、T'構造に起因するピークに加えて、原料に起因するピークがいくつか見受けられる。原料のピークが見られた原因として、T'構造を持つ生成物が少なく、洗浄の過程で原料と分離し切れなかった可能性が考えられる。しかし、原料のピークは見受けられるものの、T構造やO構造と思われるピークは認められないことから、 $x=0.3$ においてもT'構造の試料が得られたと判断できる。一方、 $x=0$ (La_2CuO_4)の粉末X線回折像は、その他の組成のものと大きく異なっている。この場合、すべてのピークはT構造によるものと同定できた。ここで注目すべきは、固相反応法で作製したT/O-La₂CuO₄は室温付近では歪んだO構造をとるの

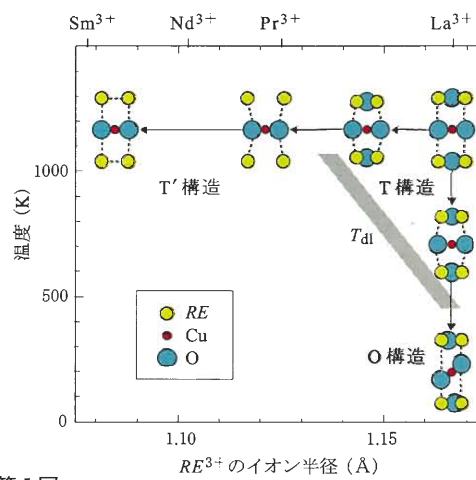


第3図
アルカリ金属水酸化物溶融塩法を用いて作製した $\text{La}_{2-x}\text{Sm}_x\text{CuO}_4$ の室温における粉末X線回折像。比較のために、固相反応法で作製した La_2CuO_4 の粉末X線回折像も示す。



第4図
 $\text{La}_{2-x}\text{Sm}_x\text{CuO}_4$ の格子定数の Sm 量依存性。
(a) 固相反応法(空気中)で作製した場合。
(b) アルカリ金属水酸化物溶融塩法(空気中)で作製した場合。
ただし、O構造の a 軸長の値は、T構造やT'構造の a 軸長との比較のために $\sqrt{2}$ で割った値を示している。

に対し、アルカリ金属水酸化物溶融塩法で作製した試料は、室温付近にもかかわらず、歪みのないT構造をとっていることである。第4図に、アルカリ金属水酸化物溶融塩法と固相反応法で作製した $\text{La}_{2-x}\text{Sm}_x\text{CuO}_4$ の格子定数の Sm 量依存性を示す。格子定数がほぼ連続的に変化していること、さらには、Sm量 x が1以上の領域では、固相反応法で作製した試料とアルカリ金属水酸化物溶融塩法で作製した試料の格子定数がほぼ一致していることから、アルカリ金属水酸化物溶融塩法で作製した試料には、仕込み値どおりの Sm が置換されていると考えてよい。T'構造が得られる領域は、固相反応法では $1.0 \leq x \leq 2$ に限られていたのに対し、アルカリ金属水酸化物溶融塩法を用いることで、 $0.3 \leq x \leq 2$ と大きく拡大している。



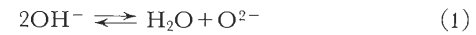
第5図 RE_2CuO_4 系における結晶構造の RE^{3+} のイオン半径と温度による変化。第1図で灰色の影をつけたあたりを正面から見たものを2次元的に図示した。ブロック層と CuO_2 面の大きさについては、厳密なものではなく、やや誇張して描いてある。

この結果は、 T' 構造を得るために低温合成が非常に有効であることを示唆している。

なぜ低温で T' 構造が安定なのだろうか。また、 $x=0$ の場合、アルカリ金属水酸化物溶融塩法で作製した試料はなぜ室温付近でも歪みのない T 構造をとるのだろうか。この原因について考察してみよう。そのために、もう一度 RE_2CuO_4 系の結晶構造について、第5図を使って、詳しく分析してみる。 La_2CuO_4 は、高温では、 CuO_2 面とブロック層である La_2O_2 層の大きさはほとんど同じであるため、歪みのない T 構造をとる。しかし、イオン結合性の強い $La-O$ 結合の方が共有結合性の強い $Cu-O$ 結合よりも熱膨張率が大きいために、温度が低下するとブロック層が CuO_2 面より小さいというミスマッチが生ずる。そのミスマッチは温度の低下につれて増大し、ある温度(T_{dl})でミスマッチに耐え切れなくなると、ミスマッチを解消するため CuO_2 面が傾き、 O 構造へと構造相転移を起こす。また、 La^{3+} がより小さなイオン半径を持つ Pr^{3+} , Nd^{3+} , Sm^{3+} などになると、高温域でさえも、ブロック層が CuO_2 面より小さいというミスマッチが存在する。この場合には、 CuO_2 面が傾いてミスマッチが解消されるのではなく、頂点酸素が抜け、 T' 構造となるこ

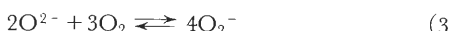
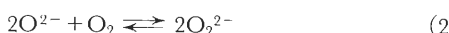
とによりミスマッチが解消される。すなわち、 T 構造では RE^{3+} は O^{2-} イオンにひきつけられているが、 CuO_6 八面体の頂点酸素(第1図(a))で銅の真上または真下の位置にある酸素)が抜けて T' 構造となると、 RE^{3+} がむき出しになるために RE^{3+} イオン間の反発によりブロック層が拡大し、ミスマッチが解消されるのである。

ここで話を戻そう。このように T 構造の場合、低温領域ではブロック層が CuO_2 面より小さいというミスマッチが存在している。特に今回アルカリ金属水酸化物溶融塩法で合成を行った温度域(350–400°C)は T_{dl} にも近く、大きなミスマッチが存在していることが予想される。ミスマッチがかなり大きな不安定な状態では、何らかの形でミスマッチを解消して、結晶化がなされるはずである。ミスマッチの解消法としては、 CuO_2 面が傾いて O 構造になる場合と、頂点酸素が移動して T' 構造になる場合と考えられる。ここで、 CuO_2 面が傾いた状態では結晶化できないと仮定すると、低温で合成することによって、 T' 構造の得られる領域が大きく拡大した理由が理解できる。 $x=0$ の場合、室温付近でも歪みのない T 構造をとる試料が得られた理由も、低温域で存在する大きなミスマッチを考慮することにより、次のように理解できる。結論から言えば、何らかの形でホールがドープされたためだと考えられる。というのは、もしホールが CuO_2 面にドープされれば、Cuの形式価数が上昇し CuO_2 面が縮小するため、ミスマッチが解消されるからである。実際、 $x=0$ の試料の磁化率を測定したところ、28 Kで超伝導転移が確認された。ホールの起源としては、溶融塩中に含まれるNaやKのLaサイトへの部分置換の可能性も否定できないが、過剰酸素の混入の可能性が高いと思われる。このホールドープの背景にあるのが、水酸化物溶融塩の持つ強い酸化力である。水酸化物溶融塩における水酸化物イオンは、次式のような平衡関係にある。



そして、この溶融塩中の酸素イオン O^{2-} は空気中の酸素と結びついて、次式に示すように、過酸化物イオン O_2^{2-} や超酸化物イオン O_2^{-} を形成す

る¹⁰⁾。

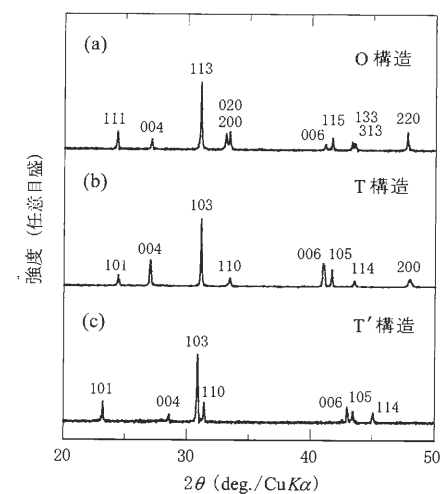


これらの過酸化物イオンや超酸化物イオンは強い酸化剤として機能する。この非常に強い酸化力によって、ホールがドープされた $La_2CuO_{4+\delta}$ が合成されたものと考えられる。

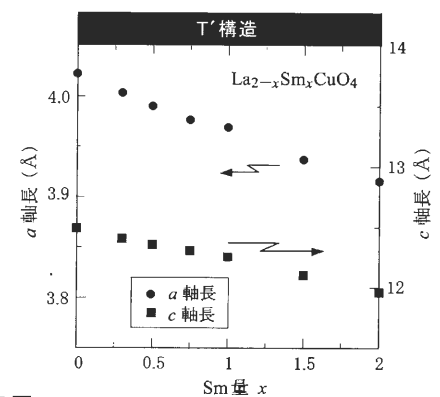
ここまで話をまとめると、アルカリ金属水酸化物溶融塩法を用いて350–400°Cという低温で合成することにより、 $La_{2-x}Sm_xCuO_4$ が T' 構造を持つ領域は、 $0.3 \leq x \leq 2$ と大きく拡大した。一方、 $x=0$ の場合は、溶融塩の持つ強い酸化力のために、室温付近でも T 構造を持つホールドープ型 $La_2CuO_{4+\delta}$ が得られた。それでは、 T' 構造をとる領域をさらに拡大し、 T' 構造を持つ La_2CuO_4 を得るためににはどうすればよいか? そのためには、水酸化物溶融塩の持つ酸化力を抑制すればよい。酸化力の起源は、過酸化物イオンや超酸化物イオンであるから、これらの生成を抑えることができれば、酸化力も抑制できる。(2)式と(3)式をみると、これらのイオンの生成には、空気中の酸素が不可欠である。そこで、酸素分圧の低い状態、具体的には、還元雰囲気にすることで、酸化力を抑制することができると考えて、還元雰囲気下で、アルカリ金属水酸化物溶融塩法による La_2CuO_4 の合成を行った。合成の方法は、基本的には、前述の方法と同じだが、銅の供給源を CuO から Cu とし、アルゴン気流中で350°C、14日間加熱した。得られた試料の粉末X線回折像を第6図に示す。比較のために、空气中での固相反応法とアルカリ金属水酸化物溶融塩法で作製した La_2CuO_4 の粉末X線回折像も示す。アルゴン気流中でアルカリ金属水酸化物溶融塩法により作製した試料のX線回折像は、すべて T' 構造に起因するピークで指数付けすることができた。不純物ピークは見られないことから単相であり、また、ピークが非常にシャープであることから、得られた試料の結晶性が高いことがわかる。また、格子定数は、 $a=4.022\text{Å}$, $c=12.493\text{Å}$ であった。第4図(b)にこの値をプロットしたものを改めて第7図として示す。この格子定数は、 $T'-La_{2-x}Sm_xCuO_4$ の延長線上にあり、 T' 構造を持つ La_2CuO_4 が得

られたと判断してよい。前に述べたように、 $T'-La_2CuO_4$ バルク試料の合成例¹⁸⁾はあるが、X線回折像のピークはかなりプロードであり、良質な試料が得られたとは考えにくい。したがって、今回アルゴン気流中でアルカリ金属水酸化物溶融塩法を用いて作製したもののが、良質な $T'-La_2CuO_4$ 試料の初めての合成例と言える。

雰囲気を制御したアルカリ金属水酸化物溶融塩

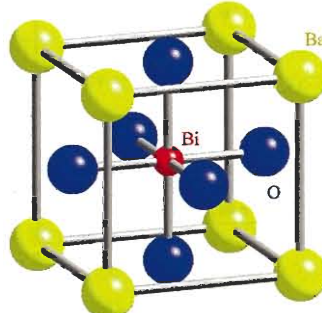


第6図 さまざまな方法で作製した La_2CuO_4 の粉末X線回折像。
(a) 固相反応法(空気中)で作製した場合。
(b) アルカリ金属水酸化物溶融塩法(空気中)で作製した場合。
(c) アルカリ金属水酸化物溶融塩法(アルゴン気流中)で作製した場合。



第7図 アルカリ金属水酸化物溶融塩法で作製した $T'-La_{2-x}Sm_xCuO_4$ の格子定数のSm量依存性。

法を用いることによって、 x の値によらず、T'-構造を持つ $\text{La}_{2-x}\text{Sm}_x\text{CuO}_4$ の良質なバルク試料を合成することができた。T'構造を持つ RE_2CuO_4 は、正規には存在しない不純物酸素が、頂点酸素の位置に残存しやすい。この頂点酸素の位置に入った不純物酸素は、超伝導にとって甚大な悪影響を与えるため、電子ドープ型の超伝導が発現する $\text{Nd}_{2-x}\text{Ce}_x\text{CuO}_4$ などにおいても、この不純物酸素を完全に除去することが大切になる。そのため、 $\text{Nd}_{2-x}\text{Ce}_x\text{CuO}_4$ のバルク試料においては、(1)アルゴン気流中で900°Cを超える高温下で CuO_2 面内の酸素の欠損を多少犠牲にしながら、不純物酸素を除去し、(2)500°Cで酸素アニールすることによって CuO_2 面内の酸素欠損を埋め戻すという2段のプロセスで行う²¹⁾。これと同様のプロセスを今回のT'- La_2CuO_4 やT'- $\text{La}_{2-x}\text{Sm}_x\text{CuO}_4$ に適用することはできない。なぜならば、今回得た試料は低温合成のプロセスでのみ得られるもので、900°C程度の高温にしてしまうと、T'構造からT/O構造へと転移してしまうからである。そこで、T'- $\text{La}_{2-x}\text{RE}_x\text{CuO}_4$ 薄膜の場合¹⁶⁾と同様にT'構造の分解ぎりぎりの温度(~650°C)で長時間真空中でアニールすることによって、不純物酸素の除去を試みた。T'- La_2CuO_4 とT'- $\text{La}_{2-x}\text{Sm}_x\text{CuO}_4$ に対して、不純物酸素の除去を目的として、真空中(~10⁻⁵ Torr)で635°C、135時間アニールを行った。アニールの前後で格子定数はほとんど変化しなかった。また、磁化率の温度依存性を測定したが、アニール前の試料においてもアニール処理を施した試料においても2K以上で超伝導転移を確認することはできず、薄膜の場合とは



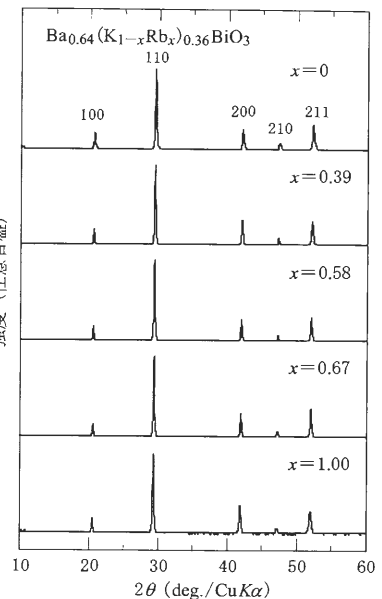
第8図 ペロフスキイト型酸化物 BaBiO_3 の結晶構造。

異なる結果になった。この原因は、バルク試料に対する還元アニール処理が不十分なためであると考えられる。薄膜の場合は表面の割合が大きいので、低温でも比較的短い時間で酸素の出入りが容易に起こると考えられるからである。そして、T'- $\text{La}_{2-x}\text{RE}_x\text{CuO}_4$ 薄膜の超伝導が真にキャリアドーピングなしの超伝導である場合には、バルク試料で超伝導が出現しなかったのは不純物酸素が除去し切れなかったと考えられるし、酸素欠損による電子ドープ型の超伝導である場合には、バルク試料で十分な酸素欠損が作り出せなかつたためとして、薄膜とバルク試料の結果の違いを説明することができる。

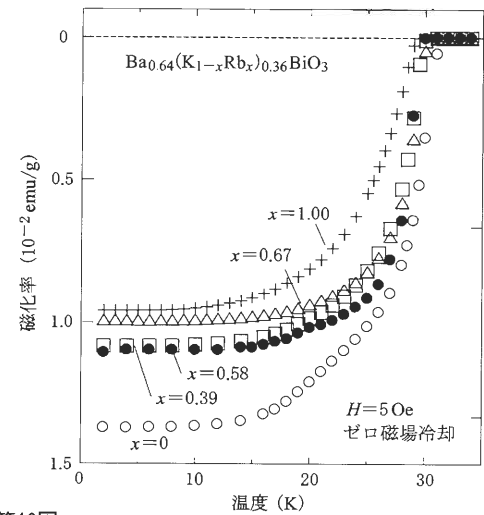
§4 $\text{Ba}_{1-x}\text{A}_x\text{BiO}_3$ ($\text{A} = \text{K}, \text{Rb}$)

ペロフスキイト構造をとる $\text{Ba}_{1-x}\text{A}_x\text{BiO}_3$ ($\text{A} = \text{K}, \text{Rb}$) (第8図)は、最高で30 Kという比較的高い T_c を有する物質として知られている^{22~24)}。この $\text{Ba}_{1-x}\text{A}_x\text{BiO}_3$ の合成は、二段階焼成法を用いた固相反応法により行われるのが一般的である²⁵⁾。具体的には、800°C程度の高温で還元雰囲気中(窒素気流中またはアルゴン気流中)で焼成を行い、その後300~500°C程度で酸素アニールを行う。この方法の要諦は、まず高温還元雰囲気下で酸素欠損を結晶中に導入してBiの平均価数を下げ、KやRbの置換が起こりやすい状況下で反応を進め、その後カチオンが動かない程度の低温での酸素アニールにより酸素欠損を補うことにある。固相反応法を用いた場合、このように複雑なプロセスが必要なのに対し、KOH溶融塩を使ったアルカリ金属水酸化物溶融塩法を用いると、比較的簡単に $\text{Ba}_{1-x}\text{K}_x\text{BiO}_3$ を合成することができるとの報告がすでにされている^{13, 26, 27)}。Wignacourtらは、金ポートに $\text{Ba}(\text{OH})_2 \cdot 8\text{H}_2\text{O}$, Bi_2O_3 (モル比 Ba : Bi = 0.6 : 1)と過剰なKOHを入れて、360°Cで15分程度加熱することで、非超伝導体の $\text{Ba}_{0.87}\text{K}_{0.13}\text{BiO}_3$ が得られると報告している²⁶⁾。原料の Bi_2O_3 におけるBiの価数が+3価であるのに対し、 $\text{Ba}_{1-x}\text{K}_x\text{BiO}_3$ のBiの平均価数は+(4+x)価であるから、 $\text{Ba}_{1-x}\text{K}_x\text{BiO}_3$ を合成する際にはBiを酸化させることが重要であり、K量 x が大きくなればなるほど、強い酸化力が必要になる。文献26)において、原料の仕込み組成比に比べてK量が少ないので、酸化力が不足していたためと考えられる。その点を考慮して、Zhaoら²⁷⁾は、260°Cというさらに低温で加熱するとともに、原料に酸化剤を加えた。KOH(60 g), $\text{Ba}(\text{OH})_2 \cdot 8\text{H}_2\text{O}$ (3.7 g)と Bi_2O_3 (4.5 g)の混合粉末(モル比 Ba : Bi = 0.6 : 1)に加えて、酸化剤として KNO_3 (4 g)と LiClO_4 (3 g)をテフロンビーカーに入れ、260°Cで1日加熱することにより $\text{Ba}_{1-x}\text{K}_x\text{BiO}_3$ ($T_c = 31.5$ K)を得ている。一方、Liuら¹³⁾は、20 gのKOHをテフロンビーカーに入れ、260°Cに加熱し、30分後に $\text{Ba}(\text{OH})_2 \cdot 8\text{H}_2\text{O}$ (1.85 g)と Bi_2O_3 (1.262 g)と NaBiO_3 (0.45 g)の混合粉末(モル比 Ba : Bi = 0.6 : 1)をPt棒で攪拌しながら加え、数時間加熱することで $\text{Ba}_{0.6}\text{K}_{0.4}\text{BiO}_3$ ($T_c = 30.8$ K)を得ている。この場合には、原料にBiの価数が+5価と高い NaBiO_3 を用いることで、これが酸化剤として機能し、 $\text{Ba}_{0.6}\text{K}_{0.4}\text{BiO}_3$ が比較的短時間で合成できたと考えられる。また、KOH溶融塩中で電気化学法を用いることにより、約5 mm角の $\text{Ba}_{1-x}\text{K}_x\text{BiO}_3$ の単結晶が育成できる。詳しい育成方法はNishioら²⁸⁾による報告を参考にされたい。

筆者らは、以上のような報告をもとに、酸化剤を使わずに $(\text{Ba}, \text{K}, \text{Rb})\text{BiO}_3$ の多結晶試料の合成を試みた⁷⁾。計20 gのKOHと $\text{RbOH} \cdot \text{H}_2\text{O}$ を100 mlのテフロンビーカーに入れ、ホットプレートで270°Cに加熱し、溶融塩の状態にした。約30分後に原料の $\text{Ba}(\text{OH})_2 \cdot 8\text{H}_2\text{O}$ (0.54 g)と Bi_2O_3 (0.50 g)の混合粉末(モル比 Ba : Bi = 0.8 : 1)を、マグネットスターで300 rpmで攪拌しながらテフロンビーカーに投入した。24時間の加熱攪拌後、テフロンビーカーごと室温に急冷し、洗浄・乾燥することで、 $\text{Ba}_{0.64}(\text{K}_{1-x}\text{Rb}_x)_{0.36}\text{BiO}_3$ の多結晶粉末試料を得た。洗浄と乾燥は、 $\text{La}_{2-x}\text{Sm}_x\text{CuO}_4$ の合成の場合と同様に行ったが、 $\text{La}_{2-x}\text{Sm}_x\text{CuO}_4$ の場合とは違って、容器にはテフロン製のビーカーを用いた。アルカリ金属水酸化物溶融塩を用いて合成を行う場合には、テフロンが最も安定している。アルミナ坩堝を用いると、坩堝がわずかに侵される。テフロンは、その融点が300°C程度であるから、300°C以下の合成にはテフロン



第9図 アルカリ金属水酸化物溶融塩法を用いて作製した $\text{Ba}_{0.64}(\text{K}_{1-x}\text{Rb}_x)_{0.36}\text{BiO}_3$ の粉末X線回折像。



第10図 アルカリ金属水酸化物溶融塩法を用いて作製した $\text{Ba}_{0.64}(\text{K}_{1-x}\text{Rb}_x)_{0.36}\text{BiO}_3$ の直流磁化率の温度依存性。

ビーカーを用いるのがよい。それを超える温度で合成する際には、それぞれの系に適した容器を用いなければならない。アルミナ坩堝を使う場合には、できるだけ緻密で、質のよい坩堝を使う方がよい。

さて、容器についての説明が長くなつたが、

$Ba_{0.64}(K_{1-x}Rb_x)_{0.36}BiO_3$ の粉末 X 線回折像を第 9 図に示す。組成比は ICP 発光分析により決定した。ピークは非常にシャープであり、良質な多結晶粉末が得られたことを示唆している。直流磁化率の温度依存性を測定したところ、第 10 図に示すように $T_c \sim 30$ K で明瞭な超伝導転移が確認された。 $Ba_{1-x}A_xBiO_3$ ($A = K, Rb$) は、固相反応法で作製すると、先ほど述べたように作製するのに手間と時間がかかるが、アルカリ金属水酸化物溶融塩法を用いることで、非常に簡単に、かつ、短時間で良質な試料を得ることができる事がわかった。また、最近、Ba の原料として $Ba(OH)_2 \cdot 8H_2O$ の代わりに BaO_2 を用いると、 $KNO_3, LiClO_4, NaBiO_3$ などの酸化剤を使うことなく、わずか数分の加熱で $Ba_{1-x}K_xBiO_3$ 多結晶粉末試料 ($T_c \sim 30$ K) が得られることがわかった²⁹⁾。

§5 おわりに

本稿では、筆者らの最近の研究を通して、アルカリ金属水酸化物溶融塩法について紹介してきた。この合成法が、従来の低温合成法と比較して、はるかに低い温度で、良質の多結晶粉末試料を得ることができるということを理解していただけたと思う。この手法の最もすばらしいところは、ただ“溶融塩”という不可思議な液体の中に原料を入れるだけで、良質の粉末試料を合成することができるという簡便さである。必要な設備も電気炉、もしくは、ホットプレートくらいで、特殊な装置は必要としない。現在、固相反応法で合成している物質や合成にチャレンジしている物質があれば、原料を、一度溶融塩の中に潜らせてみてはどうだろう。今までとは全く違う構造を持った物質が得られるかもしれないし、合成できなかったものうまく合成できるかもしれない。もしくは、 $Ba_{1-x}K_xBiO_3$ のように短時間で目的の物質が得られるようになるかもしれない。物質探索にとっては、低温の領域はあまり研究の進んでいない未開拓の領域と言える。高圧合成でさまざまな新物質が合成されたように、本稿が、低温合成を用いた新物質の探索的研究の火付け役となることを期待している。また、工業的視点から言えば、

低温の領域は省エネルギー化という魅力も秘めている。昨今、環境問題は地球規模で早急に取り組んでいかなければならない問題となっているが、既存の物質も溶融塩を使うことで簡単に合成できるようになれば、環境問題の解決の一翼を担うことができる。本稿がその手助けとなれば望外の喜びである。

本稿の内容は、東北大学大学院工学研究科の野地尚助教、足立匡助教、および大学院生であった財部裕一郎氏、皆川武史氏との共同研究によるもので、諸氏には多大なご協力を賜りました。ここに厚く御礼申し上げます。

〔参考文献〕

- 1) M. G. Smith, A. Manthiram, J. Zhou, J. B. Goodenough and J. T. Markert: Nature 351 (1991) 549.
- 2) K. Takada, H. Sakurai, E. Takayama-Muromachi, F. Izumi, R. A. Dilanian, and T. Sasaki: Nature 422 (2003) 53.
- 3) T. Kajita, M. Kato, T. Suzuki, T. Itoh, T. Noji, and Y. Koike: Jpn. J. Appl. Phys. 43 (2004) L1480.
- 4) T. Kajita, M. Kato, T. Noji, and Y. Koike: AIP Conference Proceedings 850 (2006) 535.
- 5) Y. Imai, M. Kato, Y. Takarabe, T. Noji, and Y. Koike: Physica C 460–462 (2007) 395.
- 6) Y. Imai, M. Kato, Y. Takarabe, T. Noji, and Y. Koike: Chem. Mater. 19 (2007) 3584.
- 7) T. Minakawa, M. Kato, T. Noji and Y. Koike: Physica C in press.
- 8) 溶融塩・熱技術研究会編著：“溶融塩・熱技術の基礎”(アグネ技術センター、1993).
- 9) D. Sandford, L. N. Marquez, and A. M. Stacy: Appl. Phys. Lett. 67 (1995) 422.
- 10) J. L. Luce and A. M. Stacy: Chem. Mater. 9 (1997) 1508.
- 11) W. K. Ham, G. F. Holland, and A. M. Stacy: J. Am. Chem. Soc. 110 (1988) 5214.
- 12) C. Shivakumara, M. S. Hegde, A. S. Prakash, A. M. A. Khadar, G. N. Subbanna, and N. P. Lalla: Solid State Sciences 5 (2003) 351.
- 13) S. F. Liu and W. T. Fu: Mater. Res. Bull. 36 (2001) 1505.
- 14) H. Y. Tang, H. Y. Lin, M. J. Wang, M. Y. Liao, F. C. Hsu, B. H. Mok, J. L. Liu, M. T. Beasley, H. S. Sheu, and M. K. Wu: J. Solid State Chem. 179 (2006) 2728.
- 15) B. H. Chen, D. Walker, E. Y. Suard, and B. A. Scott: Chem. Mater. 7 (1995) 355.
- 16) A. Tsukada, Y. Krockenberger, M. Noda, H. Yamamoto, D. Manske, L. Aliff, and M. Naito: Solid State Commun. 133 (2005) 427.
- 17) A. Tsukada, T. Greibe, and M. Naito: Phys. Rev. B 66 (2002) 184515.
- 18) F. C. Chou, J. H. Cho, L. L. Miller, and D. C. Johnston: Phys. Rev. B 42 (1990) 6172.
- 19) E. Takayama-Muromachi, Y. Uchida, and K. Kato: Physica C 165 (1990) 147.
- 20) A. Manthiram and J. B. Goodenough: J. Solid State Chem. 92 (1991) 231.
- 21) M. Matsuda, Y. Endoh, K. Yamada, H. Kojima, I. Tanaka, R. J. Birgeneau, M. A. Kastner, and G. Shirane: Phys. Rev. B 42 (1990) 6172.
- 22) L. F. Mattheiss, E. M. Gyorgy, and D. W. Johnson: Phys. Rev. B 37 (1988) 3745.
- 23) R. J. Cava, B. Batlogg, J. J. Krajewski, F. Farrow, L. W. R. Jr., A. E. White, K. Short, W. F. Peck, and T. Kometani: Nature 332 (1988) 814.
- 24) D. G. Hinks, B. Dabrowski, J. D. Jorgenson, A. W. Mitchell, D. R. Richards, S. Pei, and D. Shi: Nature 333 (1988) 836.
- 25) S. Pei, J. D. Jorgenson, B. Dabrowski, D. G. Hinks, D. R. Richards, and A. W. Mitchell: Phys. Rev. B 41 (1990) 4126.
- 26) J. P. Wignacourt, J. S. Swinnea, H. Steinfink, and J. B. Goodenough: Appl. Phys. Lett. 53 (1988) 1753.
- 27) L. Z. Zhao, B. Yin, J. B. Zhang, J. W. Li, C. Y. Xu, M. Xie, and S. H. Liu: Physica C 282–287 (1997) 723.
- 28) T. Nishio, H. Minami and H. Uwe: Physica C 357–360 (2001) 376.
- 29) M. Kato, S. Shitara, K. Nemoto, T. Noji and Y. Koike: submitted to Appl. Phys. Exp.

アグネ技術センター 発行

金属物理博物館

藤田英一著 A5判並製・295頁 定価2,940円(本体2,800円)

文明の起源から、金属物理をキーワードに、X線、原子力、電子顕微鏡などの今日的話題、産業・学問、それにかかわった人物を幅広くわかりやすく語る。専門家だけでなく、この道を目指す若い読者にもぜひのぞいてほしい世界が拡がる。

前書き / 1. 黎明期 / 2. 工業と学問の興り / 3. 近代化の大きな波 / 4. 物理的研究手段と金属 / 5. 転位論と破壊 / 6. 合金の物理 / 7. 金属と電子 / 8. 磁性と磁石 / 9. 博物館出口ホールにて

金属学への招待

幸田成康著 A5判並製・233頁 定価2,625円(本体2,500円)

金属物理学、とりわけ時効硬化および復元現象に多大な功績を残した著者が、わかりやすく洒脱な文章で綴った入門書。ユニークな金属学周辺の話題を隨想風に紹介する。

パイプづくりの歴史

今井 宏著 A5判並製・347頁 定価4,725円(本体4,500円)

パイプといえば竹か木製あるいは陶管だった古代から、鉛管が登場したローマ時代、その後の鋳鉄管、鍊鉄管を経て、鋼の時代となった現代まで、数々のエピソードを交えながら“パイプづくりの歴史”を、長く鋼管の生産にたずさわってきた著者が、情熱を込めてつづる。

コインから知る金属の話

岡田勝蔵著 A5判並製・125頁 定価1,575円(本体1,500円)

毎日の生活の中で身近に利用しているコイン。金属とはどんなものなのか、コインの歴史からコインを使った簡単な実験まで、今まで見慣れていたコインから金属を再発見。金属を身近に知るための一冊。まえがき / 1. 日本のコインの略史 / 2. コインの形状の変遷 / 3. 江戸時代の小判作りと鋳造 / 4. 現代のコイン作りとプレス加工 / 5. コインはどんな物質からできているか / 6. 顕微鏡でみるコインの素顔 / 7. 硬いコインと軟らかいコイン / 8. めっきコインの悲劇 / 9. コインの物理的性質 / 10. コインの熱的性質 / 11. コインの光学的性質 / 12. コインの化学的性質 / 13. 見直される1円玉 / 14. あとがきにかえて